

Для обнаруженного кристаллосольваты ПОД- $n$ H<sub>2</sub>SO<sub>4</sub> характерна сферолитная морфология, плохо разрешаемая в оптическом микроскопе и отчетливо констатируемая с помощью электронного микроскопа. На рисунке приведен электронно-микроскоический снимок сферолитов, preparedанных аналогично ранее изученным кристаллосольватам ароматических полиамидов [10].

Суммируя изложенное, следует заключить, что в концентрированных сернокислотных растворах ПОД при обычных температурах образуется типичный кристаллосольват, дающий богатую и отличающуюся от самого полимера дифракционную картину, плавящийся при сравнительно невысоких температурах и имеющий сферолитную морфологию.

#### ЛИТЕРАТУРА

1. Толкачев Ю. А., Фиалковский О. П., Краснов Е. П. Кристаллосольваты поли-*m*-фениленизофталамида с амидными растворителями. — Высокомолек. соед. Б, 1976, т. 18, № 8, с. 563.
2. Прозорова Г. Е., Дуброва А. К., Калашник А. Т., Милькова Л. П., Щетинин А. М., Иовлева М. М., Папков С. П. О растворимости полисульфонамида. — Химич. волокна, 1976, № 5, с. 38.
3. Папков С. П., Иовлева М. М., Бандурян С. И., Иванова Н. А., Андреева И. Н., Калмыкова В. Д., Волохина А. В. Структурообразование в системе поли-*p*-бензамида — серная кислота. — Высокомолек. соед. А, 1978, т. 20, № 3, с. 658.
4. Платонов В. А. Исследование жидкокристаллического состояния концентрированных растворов поли-*p*-бензамида и поли-*p*-фенилентерефталамида: Дис. на соискание уч. ст. канд. хим. наук. Мытищи: ВНИИВПроект, 1978.
5. Иовлева М. М., Бандурян С. И., Иванова Н. А., Платонов В. А., Милькова Л. П., Ханин З. С., Волохина А. В., Папков С. П. О сферолитах поли-*p*-фенилентерефталамида. — Высокомолек. соед. Б, 1979, т. 21, № 5, с. 351.
6. Takahashi T., Iwamoto H., Inoue K., Tsujimoto I. Quiescent and Strain-Induced Crystallization of Poly-(*p*-Phenylene Terephthalamide) from Sulfuric acid Solution. — J. Polymer Sci., Polymer Phys. Ed. 1979, v. 17, p. 115.
7. Takahashi T., Suzuki S., Tsujimoto I. Crystallized during the polymerisation. — Kobunshi Ronbunshu, 1977, v. 34, p. 29.
8. Ефимова С. Г., Окромчедидзе Н. П., Волохина А. В., Иовлева М. М., Папков С. П. Свойства концентрированных растворов полиарилен-1,3,4-оксадиазолов. Высокомолек. соед. Б, 1977, т. 19, № 1, с. 67.
9. Baird D. G., Silver F. M. Concentrated solutions of poly-(*p*-phenylene-1,3,4-oxadiazole in sulfuric acid. — J. Appl. Polymer Sci., 1979, v. 23, № 3, p. 941.
10. Бандурян С. И., Иовлева М. М., Иванова Н. А., Ханин З. С., Волохина А. В., Папков С. П. Структурообразование при фазовых превращениях в растворах поли-*p*-фенилентерефталамида. — Высокомолек. соед. А, 1980, т. 22, № 10, с. 2300.

Научно-производственное  
объединение «Химволокно»

Поступила в редакцию  
14.IV.1980

УДК 541.(64+14+127):547.458.82

#### КИНЕТИЧЕСКИЕ ЗАКОНОМЕРНОСТИ ФОТОЛИЗА ПЕРЕКИСИ БЕНЗОИЛА В ТРИАЦЕТИЛЦЕЛЛЮЛОЗЕ

Гусева Л. Н., Михеев Ю. А., Топтыгин Д. Я.

Несмотря на то что перекись бензоила (ПБ) часто используют для инициирования свободных радикалов в полимерах, работ посвященных изучению кинетических закономерностей и механизма фоторазложения ПБ в полимерах практически нет. Ранее нами [1, 2] было показано, что в ходе фотолиза ПБ в полимерах получается фенилбензоат, образование которого связывалось с цепным разложением ПБ, индуцированным бензоатными радикалами. В последующем [3, 4] при изучении кинетики термического разложения ПБ в триацетилцеллюзог (ТАЦ) в вакууме и на воздухе высказано предположение о том, что цепное разложение ПБ индуцируется не бензоатными, а циклогексадиенильными радикалами.

С целью выяснения механизма фоторазложения ПБ в ТАЦ в настоящей работе изучены кинетические закономерности ее расходования на воздухе и в вакууме.

В работе использовали пленочные образцы ТАЦ толщиной 15–25 мкм. Пленку приготавливали поливом совместного раствора ПБ и ТАЦ в метиленхлориде на стеклянную полированную поверхность. Затем ее отслаивали и сушили в вакуумном шкафу. Использовали ТАЦ с  $M_w=330\,000$  со степенью ацетилирования 62,5%. Полимер очищали метанолом от ароматических примесей, контролируя УФ-поглощение в области 250–270 нм. ПБ очищали двухкратной перекристаллизацией из этанола. Образец, помещенный в кварцевую кювету, облучали в термостате фильтрованным светом лампы ДРШ-500. На рис. 1 приведены УФ-спектры использованных светофильтров и типичный спектр поглощения пленки с добавкой ПБ. Интенсивность света, падающего на образец 1 и в области  $\bar{v} 31\,900–28\,000 \text{ см}^{-1}$ , определяли ферриоксалатной актинометрией, выделяя нужную область спектра с помощью фильтров. Облученный образец взвешивали и по методике, описанной в работе [3], определяли концентрацию ПБ. Интенсивность света изменяли с помощью металлических сеток с различным пропусканием. Для всех изученных концентраций ПБ наблюдали полную идентичность результатов при фотолизе образцов в кварцевой кювете, вакуумированной до 1,33 Па и наполненной углекислым газом. Это свидетельствует об отсутствии дополнительных нагреваний образца при поглощении УФ-света.

На рис. 2 приведены линейные анаморфозы кинетических кривых расходования ПБ при фотолизе ее в ТАЦ светом с  $\bar{v}<32\,200 \text{ см}^{-1}$  (стекло БС-5, кривая 2, рис. 1) на воздухе и в вакууме для разных исходных концентраций и температур. Видно, что до глубоких степеней превращения каждая кинетическая кривая описывается уравнением первого порядка.

Однако эффективная константа скорости меняется с изменением начальной концентрации ПБ. На рис. 3 приведена зависимость эффективных констант скорости расходования ПБ ( $k_o$ ) в вакууме и на воздухе от исходной концентрации ПБ в ТАЦ. Видно, что с увеличением концентрации ПБ эффективные константы скорости расходования линейно растут как в вакууме (прямая 1), так и на воздухе (прямые 2, 3). Таким образом, как в вакууме, так и на воздухе происходит индуцированное разложение ПБ наряду с мономолекулярным, причем видно, что кислород оказывает «ингибирующее» действие. Следовательно, в случае фотолиза, как и при термическом разложении ПБ в ТАЦ, можно записать: в вакууме  $k_o=k_0+k_{\text{п}} [\text{ПБ}]_0$ , в присутствии кислорода  $k_o^{O_2}=k_0+k_{\text{п}}^{O_2} [\text{ПБ}]_0$ , где  $k_0$  и  $k_{\text{п}}$ ,  $k_{\text{п}}^{O_2}$  соответственно константы скорости мономолекулярного и цепного распада. На рис. 3 прямые 1, 2 и 3, 4 получены с источниками УФ-света, отличающимися по  $I$  и спектральному составу в области  $\bar{v}<32\,200 \text{ см}^{-1}$ .

При исследовании механизма фотохимических реакций необходимо выяснить влияние интенсивности света на скорость превращения. На рис. 4 приведены линейные анаморфозы кинетических кривых расходования ПБ на воздухе (а) и в вакууме (б), полученные для разной интенсивности падающего света. На воздухе наблюдается линейная зависимость  $k_o$  от  $I$  (рис. 4, а, прямая 1). В то же время в вакууме она более сложная (рис. 4, б, кривая 2). Видно, что при малых величинах  $I$  (1,8·

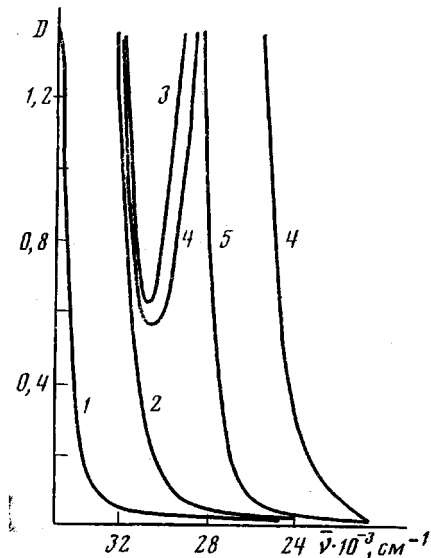


Рис. 1. УФ-спектры поглощения: 1 – пленка ТАЦ с 0,69 моль/кг ПБ, толщина 22 мкм, 2 – стекло БС-5, 3 – комбинация стекол БС-5+УФС-1, 4 – комбинация из стекла БС-5 и водного раствора  $K_2CrO_4$ ,  $(4,09 \cdot 10^{-4} \text{ моль/м}^3, l=1 \text{ см})$ , 5 – стекло БС-10

$\cdot 10^{21} \text{ м}^{-2} \text{ с}^{-1}$ ) и неизменном спектральном составе света величины  $k_a$  разложения ПБ на воздухе и в вакууме аналогичны. В отличие от линейной зависимости в присутствии кислорода, в условиях вакуума возрастание эффективной константы  $k_a$  идет примерно пропорционально  $I^{\frac{1}{2}}$ . Такая необычная зависимость вызвала необходимость исследовать влияние на процесс спектрального состава света.

Рассмотренные данные, приведенные на рис. 2-4, были получены с использованием фильтра, пропускающего свет с  $\nu < 32\ 200 \text{ см}^{-1}$  (стекло

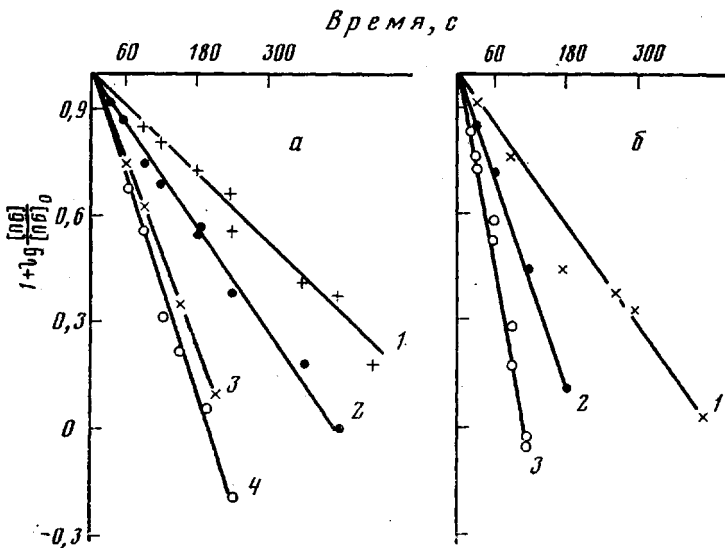


Рис. 2. Линейные анаморфозы кривых расходования ПБ в ТАЦ при освещении образцов через стекло БС-5 на воздухе (а) и в вакууме (б) при температуре 293 (1, 2), 323 (3), 341 К (4);  $I = 2,8 \cdot 10^{21} \text{ м}^{-2} \text{ с}^{-1}$ ; [ПБ], моль/кг: 0,2 (1), 0,69 (2-4)

БС-5, рис. 1, кривая 2). В том случае, если в поток такого света ввести дополнительно фильтр, удаляющий преимущественно свет с  $\nu < 28\ 600 \text{ см}^{-1}$  (рис. 1, кривая 3), то и при малых величинах  $I$  также появляется значительное расхождение в значениях  $k_a$ , получаемых в вакууме и на воздухе. В отсутствие дополнительного светофильтра (только со стеклом БС-5) величина  $k_a$  в обоих случаях была  $\approx 3,33 \cdot 10^{-4} \text{ с}^{-1}$ , а с дополнительным фильтром величина  $k_a$  стала на воздухе  $1,17 \cdot 10^{-4} \text{ с}^{-1}$ , в вакууме —  $1,5 \cdot 10^{-4} \text{ с}^{-1}$ .

Прямая проверка влияния длинноволнового света проведена с помощью двух источников света, расположенных по разные стороны образца. С одной стороны образец облучали через составной фильтр (рис. 1, кривая 4, составлен из стекла БС-5 и водного раствора  $K_2CrO_4$ ), пропускающий преимущественно УФ-свет около  $30\ 500 \text{ см}^{-1}$  (1). С другой стороны образец освещали только длинноволновой компонентой излучения ртутной лампы  $I_1$  с  $\nu < 27\ 600 \text{ см}^{-1}$  (рис. 1, кривая 5, стекло БС-10). Свет второго источника не вызывает заметного разложения ПБ (рис. 5, прямая 1). В то же время добавление его к свету первого источника приводит к возрастанию величины  $k_a$  для вакуума от  $6,5 \cdot 10^{-4} \text{ с}^{-1}$  до  $8,5 \cdot 10^{-4} \text{ с}^{-1}$  (рис. 5, прямые 3, 2) и для воздуха — от  $3,7 \cdot 10^{-4} \text{ с}^{-1}$  до  $4,7 \cdot 10^{-4} \text{ с}^{-1}$  (рис. 5, прямые 5, 4).

Таким образом, установлено, что неактивный сам по себе длинноволновый свет ускоряет в присутствии более коротковолнового активного УФ-света разложение ПБ в ТАЦ как в вакууме, так и на воздухе. При этом увеличение эффективной константы сочетается с ее слож-

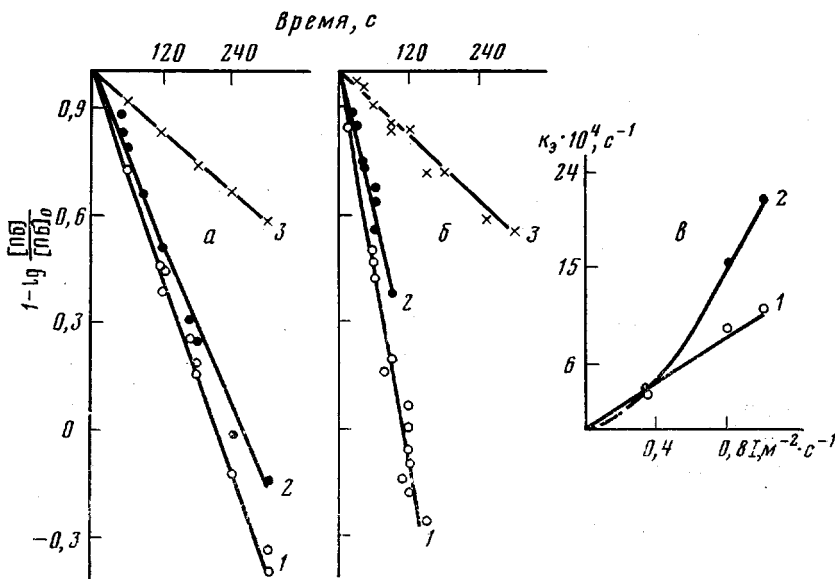


Рис. 4

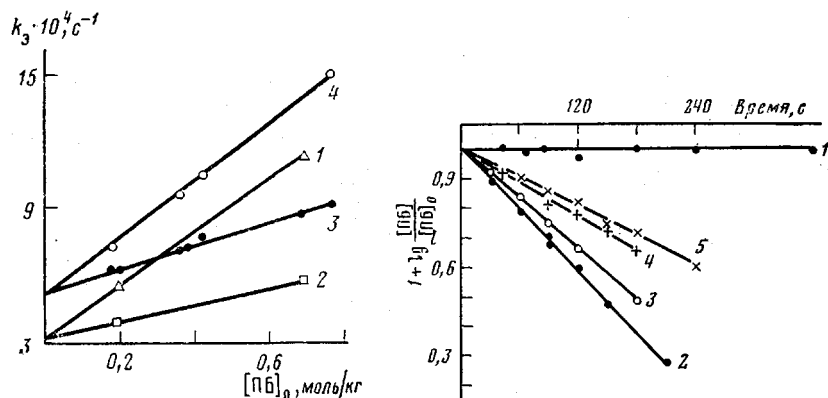


Рис. 3

Рис. 3. Зависимость эффективных констант скорости фотолиза ПБ в ТАЦ от ее исходной концентрации в вакууме (1, 4) и на воздухе (2, 3); 1  $2,8 \cdot 10^{21}$  (1, 2),  $4,6 \cdot 10^{21} \text{ м}^{-2}\text{с}^{-1}$  (3, 4)

Рис. 4. Влияние интенсивности освещения на кинетику расходования 0,69 моль/кг ПБ в ТАЦ (на воздухе (а) и в вакууме (б)) и на эффективные константы скорости (с): а, б: 1 – I =  $5,3 \cdot 10^{21} \text{ м}^{-2}\text{с}^{-1}$ , 2 –  $0,8 I$ , 3 –  $0,35 I$ ; с: 1 – воздух, 2 – вакуум

Рис. 5. Влияние спектрального состава УФ-света на кинетику расходования ПБ в ТАЦ в вакууме (1–3) и на воздухе (4, 5): 1 – лампа с фильтром 5, 3, 5 – лампа с фильтром 4, 2 – лампа с фильтром 4 и лампа с фильтром 5

ной зависимостью от величины  $I$ . Обнаруженные факты свидетельствуют об участии в процессе фотопревращения ПБ промежуточных светочувствительных свободных радикалов.

Определение температурной зависимости величин  $k_3$  и  $k_3^{O_2}$  дало для обоих случаев эффективную энергию активации  $\sim 12,57$  кДж/моль.

Оценка квантового выхода, проведенная по данным, полученным на воздухе, в расчете, что ПБ поглощает только свет с  $\nu \approx 31\,900 \text{ см}^{-1}$ , привела к значению 0,1 (293 К).

Для объяснения полученных результатов с учетом свойств промежуточных частиц можно предложить следующую схему реакций для фотопроцесса:

лизи ПБ в ТАЦ в вакууме:



где  $\text{r}^\cdot$  — радикалы, возникающие в результате фотолиза ПБ,  $\Phi\text{H}$  — бензольные кольца с концентрацией 2  $[\text{ПБ}]_0$ ; РН, R — макромолекула и макрорадикал. Циклогексадиенильные радикалы  $\text{r}\dot{\Phi}\text{H}$ , образующиеся в реакции (1), способны при повышенных температурах 353–373К индуцировать разложение ПБ [3–5]:  $\text{r}\dot{\Phi}\text{H} + \text{ПБ} \rightarrow \text{r}^\cdot + \text{продукты}$ . В случае, если  $\text{r}^\cdot$  является бензоатным радикалом, радикалы  $\text{r}\dot{\Phi}\text{H}$  претерпевают обратную реакцию (2) с отщеплением  $\text{r}^\cdot$  [5, 6]. При пониженных температурах циклогексадиенильные радикалы относительно малоактивны в бимолекулярных термических реакциях и способны с большой эффективностью распадаться под действием света с  $\nu < 33\ 300 \text{ см}^{-1}$  (реакция (3)) с выделением атомов  $\text{H}^\cdot$  [7]. Спектр поглощения радикалов такого типа обычно охватывает оба использованных в работе интервала  $I$  и  $I_1$  [8], поэтому константа скорости  $k_3$  должна определяться величиной интенсивности как  $I$ , так и  $I_1$ . Исходя из схемы получим выражение для скорости

$$-\frac{d[\text{ПБ}]}{dt} = \left( 1 + \frac{k_4 k_3^{I, I_1} [\Phi\text{H}]}{k_5 [\text{РН}] (k_2 + k_3^{I, I_1})} \right) k_0^I [\text{ПБ}],$$

из которого следует, что кинетика разложения ПБ соответствует уравнению первого порядка и эффективная константа скорости линейно возрастает с увеличением  $[\text{ПБ}]_0 = [\Phi\text{H}] / 2$ :

$$k_a = \left( 1 + \frac{k_4 k_3^{I, I_1} [\Phi\text{H}]}{k_5 [\text{РН}] (k_2 + k_3^{I, I_1})} \right) k_0^I \quad (7)$$

Учитывая, что УФ-свет в условиях опытов поглощается при очень низкой величине оптической плотности образцов ( $D < 0,05$ ), для выражения констант скоростей фотореакций (0,3) можно использовать линеаризованную форму уравнения ЛамBERTA — Бера. Принимая также для упрощения условие монохроматичности света с  $I$  и  $I_1$  можно записать

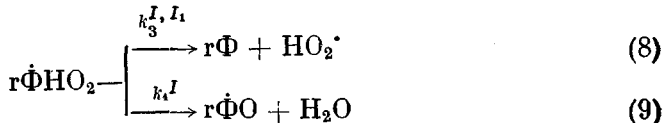
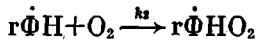
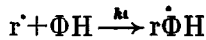
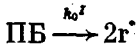
$$k_0^I = 2,3\Phi_0\epsilon_{\text{ПБ}}I; \quad k_3^{I, I_1} = 2,3(\Phi_1\epsilon_1I + \Phi_1'\epsilon_1'I_1),$$

где  $\Phi_0$  и  $\Phi_1, \Phi_1'$  — квантовые выходы фотолиза ПБ и  $\text{r}\dot{\Phi}\text{H}$  светом с интенсивностью  $I$  и  $I_1$ . Соответственно значения мольных коэффициентов экстинкции для ПБ —  $\epsilon_0$ , для  $\text{r}\dot{\Phi}\text{H}$  —  $\epsilon_1$  и  $\epsilon_1'$ .

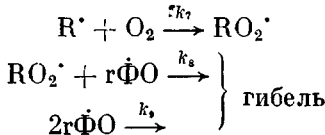
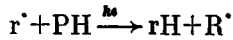
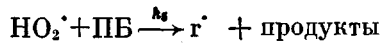
Согласно полученному выражению (7), при достаточно высоких значениях  $I$  и  $I_1$ , в принципе может осуществляться условие (при  $k_2 < k_3^{I, I_1}$ ), при котором величина  $k_a$  будет линейно зависеть от величины  $I$  и не будет зависеть от величины  $I_1$ . В том случае, когда величины  $k_2$  и  $k_3^{I, I_1}$  близки или  $k_3^{I, I_1} < k_2$ , может наблюдаться более сложная зависимость со степенью для  $I$ , превышающей 1. При этом увеличение интенсивности длинноволнового света, согласно схеме, должно увеличивать и значение  $k_a$ , что согласуется с экспериментальными результатами (рис. 5).

В присутствии кислорода радикалы  $\text{r}\dot{\Phi}\text{H}$ , согласно литературным данным, легко окисляются в перекисные радикалы [5]. Окисление цикло-

тексадиенилов легко происходит даже при температуре 120К [9]. При комнатной температуре перекисные радикалы такого типа, генерированные импульсным радиолизом в водных растворах бензола, гибнут только по второму порядку [8]. Пероксициклогексадиенильные радикалы не способны сами индуцировать разложение ПБ [4, 5], и при отсутствии УФ-света их образование служит причиной ингибиции цепного разложения ПБ. Однако они хорошо поглощают свет с  $\nu < 33300 \text{ см}^{-1}$  [8] и, по-видимому, могут фотолизоваться как с образованием радикала, способного вести индуцированный распад ПБ, например  $\text{HO}_2^{\cdot}$ , так и с образованием радикалов, участвующих только в актах гибели свободной валентности. Используя, таким образом, все основные реакции, рассматриваемые разными исследователями для процессов превращения ПБ, получим следующую возможную схему фотопревращения в присутствии кислорода:



(9)



В этой схеме реакции (8) и (9) должны быть фотохимическими. Их введение в схему требуется для объяснения обнаруженного в работе влияния длинноволнового УФ-света на скорость фоторазложения ПБ. При этом предполагается, что реакция (8) образования радикалов  $\text{HO}_2^{\cdot}$  — причина развития цепного разложения ПБ, как и в случае термического процесса [4]. Под реакцией (5) в данной схеме подразумевается фотораспад пероксициклогексадиенильного радикала на воду и феноксильный радикал. На возможность такой реакции указывает образование фенола, обнаруженное как при прямом, так и при фотосенсибилизированном разложении перекиси бензоила в бензоле в количестве 17 и 8 мол. % соответственно [6] в присутствии кислорода. В отсутствие кислорода фенол не обнаружен. Рассмотренная схема реакций с участием кислорода приводит к следующему выражению для скорости расходования ПБ в ходе фотолиза:

$$-\frac{d[\text{ПБ}]}{dt} = \left( 1 + \frac{2k_1 k_3^{I, I_1} [\text{ФН}]}{k_1 k_4^I [\text{ФН}] + (k_3^{I, I_1} + k_4^I) k_6 [\text{РН}]} \right) k_0^T [\text{ПБ}]$$

При этом кинетические кривые соответствуют уравнению первого порядка, и эффективная константа скорости  $k_0^T$  линейно возрастает с ростом  $[\text{ПБ}]_0$  (при условии  $k_1 k_4^I [\text{ФН}] < (k_3^{I, I_1} + k_4^I) k_6 [\text{РН}]$ , аналогичном установленному в работе [4] для термического разложения). Полученное выражение объясняет ингибирующее влияние кислорода и отсутствующую в

вакуумных условиях линейную зависимость эффективной константы скорости  $k_2^{\text{O}_2}$  от интенсивности освещения.

Согласно рассмотренным схемам, как для инертной атмосферы, так и для воздуха величина  $k_2$  должна линейно зависеть от величины  $I$ . Это и наблюдается экспериментально, например по данным рис. 3. Добавление длинноволнового света  $I_1$  в обоих случаях должно увеличивать скорость разложения ПБ.

Таким образом, кинетические закономерности фотохимического разложения ПБ в инертной атмосфере и на воздухе можно объяснить, сохранив логическую взаимосвязь со схемами термического разложения при учете светочувствительности промежуточных циклогексадиенильных и пероксициклогексадиенильных радикалов.

#### ЛИТЕРАТУРА

1. Гусева Л. Н., Михеев Ю. А., Топтыгин Д. Я. Изучение фотохимического превращения перекиси бензоила в твердых полимерах.— Докл. АН СССР, 1973, т. 213, № 4, с. 871.
2. Леднева О. А., Михеев Ю. А., Топтыгин Д. Я. Радикальные реакции при фотораспаде перекиси бензоила в твердом поликарбонате.— Изв. АН СССР. Серия химич., 1977, № 1, с. 66.
3. Гусева Л. Н., Михеев Ю. А., Топтыгин Д. Я. Превращение перекиси бензоила в триацетилцеллюз в отсутствие кислорода.— Высокомолек. соед. А, 1978, т. 20, № 9, с. 2006.
4. Рогова Л. С., Гусева Л. Н., Михеев Ю. А., Топтыгин Д. Я. Разложение перекиси бензоила в триацетилцеллюз на воздухе.— Высокомолек. соед. А, 1979, т. 21, № 6, с. 1373.
5. Нонхабел Д., Уолтен Дж. Химия свободных радикалов. М.: Мир, 1977.
6. Nakata T., Tokumaru K., Simamura O. Photochemical Decomposition of Benzoyl Peroxide in Aromatic Solvents and Aromatic Benzoyloxylation Induced by Oxygen.— Tetrahedron Lett., 1967, v. 34, p. 3303.
7. Бажин Н. М. Реакции атома водорода в системе  $\text{H}_2\text{O}+\text{H}_2\text{SO}_4+\text{FeSO}_4$ . V. Действие света на радикалы «прилипания».— Кинетика и катализ, 1967, т. 8, № 3, с. 532.
8. Dorfman L. M., Taub J. A., Bühler R. E. Pulse Radiolysis Studies. I. Transient Spectra and Reaction—Rate Constants in Irradiated Aqueous Solutions of Benzene.— J. Chem. Phys., 1962, v. 36, N 11, p. 3051.
9. Якимченко О. Е., Гапонова И. С., Гольдберг В. М., Парийский Г. Б., Топтыгин Д. Я., Лебедев Я. С. Кинетика низкотемпературной реакции  $\text{R}^\bullet+\text{O}_2=\text{RO}_2^\bullet$  в твердом полистироле и кумоле.— Изв. АН СССР. Серия химич., 1974, № 2, с. 354.

Институт химической  
физики АН СССР

Поступила в редакцию  
15.IV.1980

УДК 541.64:547.1'128

#### О ВЛИЯНИИ РАЗВЕТВЛЕННОЙ СТРУКТУРЫ ПОЛИДИМЕТИЛДИФЕНИЛСИЛОКСАНА НА ТЕМПЕРАТУРУ СТЕКЛОВАНИЯ

Жданов А. А., Родионова Е. Ф., Василенко Н. Г.

Ранее было высказано предположение о том, что полиорганосилоксаны, имеющие разветвленную «гребнеобразную» структуру с небольшими длинами ответвлений, будут иметь пониженную, по сравнению с линейными полимерами того же состава, температуру стеклования.

Анионной полимеризацией органосилоксанов с силоксилэтиленовой группой нами были синтезированы полимеры следующего строения:

